

ТЕОФИЗИКА pro ФИЗИКА

Холманский А.С.

Отсутствие абсолютной истины вынуждает любую науку и физику, в том числе, быть служанками господствующей духовной парадигмы. В XX веке Россия выпала из духовной эволюции, а мир погрузился во тьму парадигмы ветхозаветности. Под ее прессингом занулился духовный потенциал мифохристианства и доминантой физики стало извращение естественного порядка бытия во имя убожества плоти бесдуховных людей. Но всему есть предел: злых зле погубит их (Мф 21, 41), – близ есть время смены духовной парадигмы. Ментальным императивом Антропного принципа следует считать появление ноохристианства [1] и теофизики. Их главная задача – очищение ноосферы от тлена ветхозаветности. В настоящем обзоре с позиций теофизики рассмотрены примеры духовного юродства ветхозаветных теорфизиков и объяснены некоторые глобальные явления в биосфере и ноосфере.

ПРЕДИСЛОВИЕ

Теофизика (физика духа или натурфилософия) – есть научное направление, изучающее законы взаимобращения материи и духа в живой и неживой природе [2]. По мере углубления эмпирического познания мира человек совершенствует логико-математический аппарат описания достоверных результатов опыта. С выходом физических методов исследования на атомно-молекулярный уровень организации вещества законы классической механики были успешно переформатированы путем введения в аксиоматику физики понятия *кванта действия*. Математический аппарат квантовой механики позволил построить модели, хорошо объясняющие закономерности изменения электромагнитных свойств вещества на уровне молекул, атомов и ядер. При этом теоретические модели структур космических объектов, ядер и элементарных частиц оказались не столь удовлетворительны в силу отсутствия адекватной аксиоматики для физики субэлементарного уровня организации вещества. Обусловлено это тем, в формировании дискретных субстанций данного уровня организации вещества участвуют кванты материи, находящейся в непрерывном состоянии [3]. Динамика данного состояния материи одинакова для элементарных частиц, эфира межзвездного пространства и активного мозга человека, поэтому ее логико-математическая формализация возможна лишь путем принятия универсальной аксиомы: *дух есть сущность материи*. Переформатирование идеологии физики на основе данной аксиомы обращает ее в теофизику, гносеологический потенциал которой углубляется и расширяется до уровня онтологии. Только в рамках теофизики можно построить внутренне непротиворечивую диалектическую модель одухотворенного мира.

В настоящей работе проанализированы с позиций теофизики новые и известные результаты экспериментальной физики и биофизики, непосредственно относящиеся к физике духа.

ТЕОрФИЗИКА contra ТЕОФИЗИКИ

В контексте духовной эволюции отношение «теорфизика – теофизика» соответствует отношению «Ветхий Завет – Новый Завет». В рамках парадигмы Антропного принципа эволюционный переход теорфизики в теофизику инициируется влиянием на физиологию человека космического фактора нейтринной природы. Его действие на человека со временем возрастает и для избранных вообще становится доминантным, отесняя на второй план действие на них универсального геокосмического фактора электромагнитной (ЭМ) природы [1]. Уровнем чувствительности творческой активности человека к нейтринному фактору определяется направление и темп духовной эволюции. Именно поэтому нейтринный фактор ассоциируется с библейской символикой действия на физиологию человека Духа и Божьих ангелов [2].

Сакральная семантика электромагнитной составляющей физиологии человека в языческой и библейской мифологии представлена символикой дьявола и его свиты (сатана, бесы, черти и т.п.). Ключевая роль электрона в теоретической и прикладной физике XX века позволяет условно назвать теорфизику «электронофизикой» или «иудофизикой», учитывая, что библейским символом электрона является ветхозаветный Иуда [2]. Вписывается в данный контекст и доминирование в теорфизике XX века материалистов-язычников и ветхозаветных иудеев, а также ее ведущая роль в формировании материалистической мировоззренческой парадигмы в XX веке как идеологического оплота ветхозаветности [4].

Ветхозаветная идеология внедрилась в классическую физику, используя в качестве троянского коня теорфизику, включающую теорию относительности, космологические мистификации (e.g. большой взрыв) и абсурдистские теории элементарных частиц. Об отсутствии какой-либо связи этих теорий с реальным порядком мироустройства прямо свидетельствуют их наглядные иллюстрации, которые можно отнести к бессмысленным идиомам. Показателен в этом смысле девиз школы Френкеля (1934 год): «поднимать вопрос, да еще в Академии, о восстановлении в прежних правах теории эфира Фарадея и Максвелла мне представляется совершенно недопустимым». Передним фронтом теорфизики является «физика элементарных частиц», на что прямо указал академик Окунь: «уровень этой науки определяет уровень понимания всего окружающего нас мира, определяет уровень интеллектуальной зрелости человечества» [5]. Слив из материи эфир, теорфизики заполнили физику мистикой странностей, цветности, кварков, глюонов, партонов и т.п. [6]: **Иудеи требуют чудес (1 Кор 1, 22)**.

Библейской семантикой «дьявол» (злой, клеветник, оболъститель, лукавый) охватываются действия геокосмических факторов ЭМ-природы, маскирующие действие нейтринного фактора и возбуждающие в человеке плотские инстинкты, а также скрытые психосоматические патологии [7,8]. Такие проявления дьявола олицетворяют библейского антихриста [2]. Можно сказать, что развитие теорфизики и «научно-технического прогресса» в XX веке шло под эгидой дьявола, поскольку его доминантой было расщепление естественного порядка мира на электромагнитном и ядерном его уровнях с целью создания всевозможного оружия и средств удовлетворения плотской похоти человека. При этом четко выявилась тенденция – с ростом уровня сложности электронных изделий неуклонно снижается уровень духовности человека [9].

ЭМ-доминанта теорфизики достигла своего апогея в физике высоких энергий. Главный ее принцип состоит в накачивании ядер и частиц в ускорителях ЭМ-энергией с последующим их столкновением либо с мишенью, либо в «лоб в лоб». При этом образуется мешанина («кофейная гуща») из вторичных фотонов и деформированных ими элементов частиц и ядер (Рис 1). Последующая обработка результатов столкновений «капель» ЭМ-энергии (назовем их *гиперфотонами*), отягченных массой покоя частиц, напоминает «гадание на кофейной гуще». В ускорителях «наварено» уже более трех сотен возбужденных состояний пяти элементарных частиц (нейтрон, протон, электрон, фотон, нейтрино).

Игнорирование теорфизиками очевидного механизма возбуждения частиц ЭМ-энергией связано тем, что «открытие» каждой новой частицы сопряжено с защитой порядка десяти всевозможных диссертаций. Поскольку степени и звания исправно кормят теорфизиков, то они так и будут выпекать частицы вплоть до пришествия антихриста в виде бозона Хиггса.

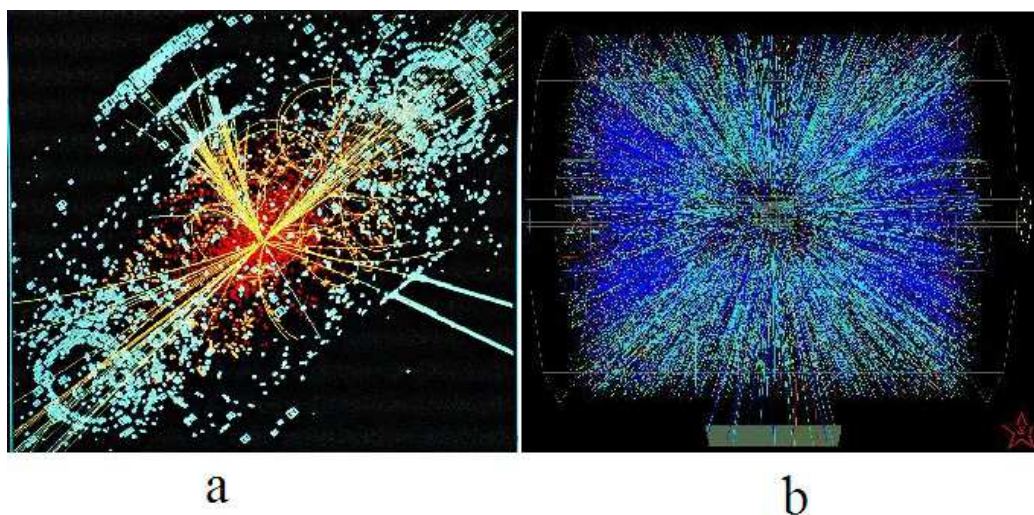


Рис 1. Идиоматическая модель «электромагнитной кофейной гущи», которая должна возникать в БАК при столкновении двух ультррелятивистских протонов, перенасыщенных ЭМ-энергией – а) и вид «электромагнитных брызг» от столкновения двух релятивистских ионов золота – б).

Апокалипсическим памятником ветхозаветной теорфизики стал Большой адронный коллайдер (БАК). В его создании и исследованиях задействовано в общей сложности порядка 10 000 учёных и инженеров (баксисты [1]) из ~100 стран. При построении этой вавилонской башни XXI века баксисты уже освоили более 6 млрд. баксов [10]. Главная цель проекта БАК – сотворение изначального кванта материи – бозона Хиггса из ЭМ-энергии. Сакральный смысл этой затеи ветхозаветных теорфизиков прозрачен – смоделировать процесс обращения дьявола-антихриста (ЭМ-энергия) в Бозе Христа (бозон Хиггса). Узвимым звеном конструкции БАК являются сверхпроводящие магниты. Для удержания, коррекции и фокусировки протонных пучков используются 1624 сверхпроводящих магнита, общая длина которых превышает 22 км при радиусе кольца БАК ~4,1 км. Магниты работают при температуре 1,9 К (-271 °С), что ниже температуры перехода гелия в сверхтекучее состояние.

ЭНЕРГОФОРМА

Сверхпроводимость, как и сверхтекучесть, проявляются в веществе при охлаждении его до температур близких к абсолютному нулю. Главным условием приобретения веществом данных свойств является устранение дезорганизующего влияния на электронно-атомный порядок вещества квантов ЭМ-энергии или тепловых фотонов. В кооперативных эффектах, лежащих в основе сверхтекучести и сверхпроводимости, в принципе, уже проявляются свойства непрерывного состояния материи, которое реализуется в дискретных элементах эфира, частиц и ядер. При сверхнизких температурах происходит вымораживание всех видов поступательного движения, вплоть до неустранимых нулевых колебаний, которые, по сути, представляют собой вращательные движения электронов вокруг ядер. Совсем не вымораживаются спины ядер и частиц. Таким образом, в предельном случае отвода из среды вещества всех тепловых фотонов его состояние можно представить иерархической системой вращающихся элементов или вихрей.

Примером таких вихрей могут служить куперовские пары электронов и вихри в жидком гелии. Поскольку эти вихри тороидальны, то их спины или моменты импульса могут иметь значения 0 (синглет) или ± 1 (триплет), а сами вихри подчиняться квантовой статистике Бозе, которая позволяет им кооперироваться и вести себя как односвязная система. Электроны в куперовских парах должны иметь противоположные направления спинов – у синглетной пары ее магнитный момент будет равен нулю, что и обеспечит

диамагнитные свойства сверхпроводящего материала. Синглетные и триплетные вихри из нейтральных атомов гелия могут образовывать стопки и соленоидальные потоки эфира (духа) в виде вихревых нитей [11]. Отдельные вихри и нити из них формируются при сообщении всему объему жидкого гелия вращательной энергии извне, путем закручивания сосуда содержащего гелий [12]. Данный механизм предполагает передачу атомам гелия квантов ЭМ-энергии при их взаимодействии с ЭМ-полем вещества стенок. В основе механизма трения лежат электромагнитные взаимодействия между движущимися друг относительно друга атомами, в которых участвуют тепловые фотоны или фононы [13]. Очевидно, что движение вихрей, образованных из возбужденных атомов гелия в среде сверхтекучего гелия будет происходить с трением (неконтактное трение), наделяя жидкий гелий динамической вязкостью.

Куперовские пары электронов и вихри в жидком гелии могут служить иллюстрацией молекулярных вихрей Максвелла [14]. Универсальной моделью элементарных вихрей материи является энергоформа (ЭФ) (Рис 2), в основе которой лежит замкнутый сам на себя вихрь духа [3]. Опираясь на законы диалектики, сформулировали правила комбинации и сборки ЭФ в элементы эфира, частиц, ядер и мыслемоформ [2]. Используя указанные правила и эмпирические характеристики частиц и ядер рассчитали структуры их основных и возбужденных состояний [2, 15].

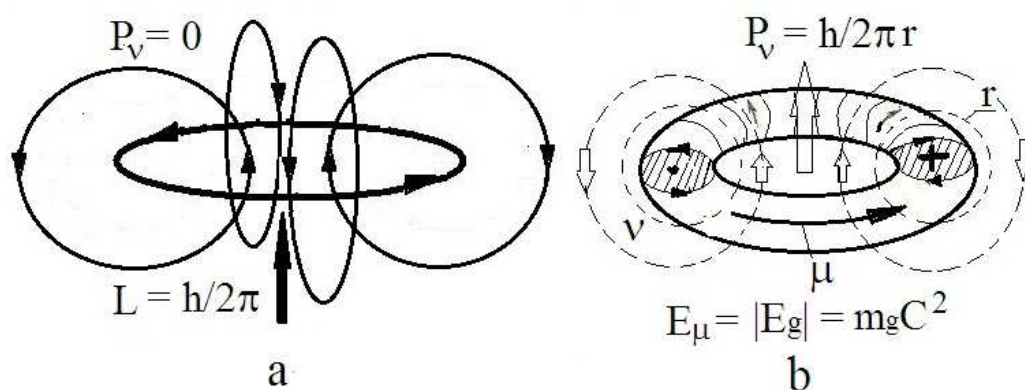


Рис 2. Модели фундаментальных вихрей духа (энергоформ – ЭФ), составляющих основу метрики физического вакуума (а) и зарядово-массовых пар, из которых образуются элементы частиц, имеющих заряд и массу покоя (б). P_v - импульс ЭФ, L – момент импульса, E_g – вращательная энергия ЭФ, m_g – эквивалентная масса ЭФ, C – скорость света, μ – магнитная проницаемость вакуума.

В основе сборки-кооперации вихрей в различные агломераты, включая элементы частиц, лежит механизм обратимой резонансно-изоэнергетической конденсации той энергетической составляющей ЭФ, которая отвечает за ее активность и эквивалентна энергии поступательного движения (импульса) [2]:

$$\hbar k C / k r \Leftrightarrow \hbar k C / r^* = \hbar C / r, \quad (1)$$

где r характеризует внутренний радиус кольцевого вихря эфира, образующего атмосферу ЭФ после конденсации на ее тороидальном остоле k вихрей эфира с радиусами $r^* = k r$. При этом плотность замкнутого потока эквивалентной массы эфира в тороидальном остоле или вращательная энергия ЭФ возрастает в k раз.

Соотношению (1) подчиняются процессы закрутки и раскрутки ЭФ, частиц, ядер и космических объектов, которые лежат в основе механизмов перестройки их структур, инициированных поглощением или излучением ими квантов энергии соответствующей природы (ЭФ, фотоны, частицы, кометы, звезды). При поглощении энергии происходит

скручивание вихревой структуры, возрастает ее угловая скорость и уменьшается ее радиус. При излучении или распаде происходят обратные изменения динамических характеристик вихревой структуры.

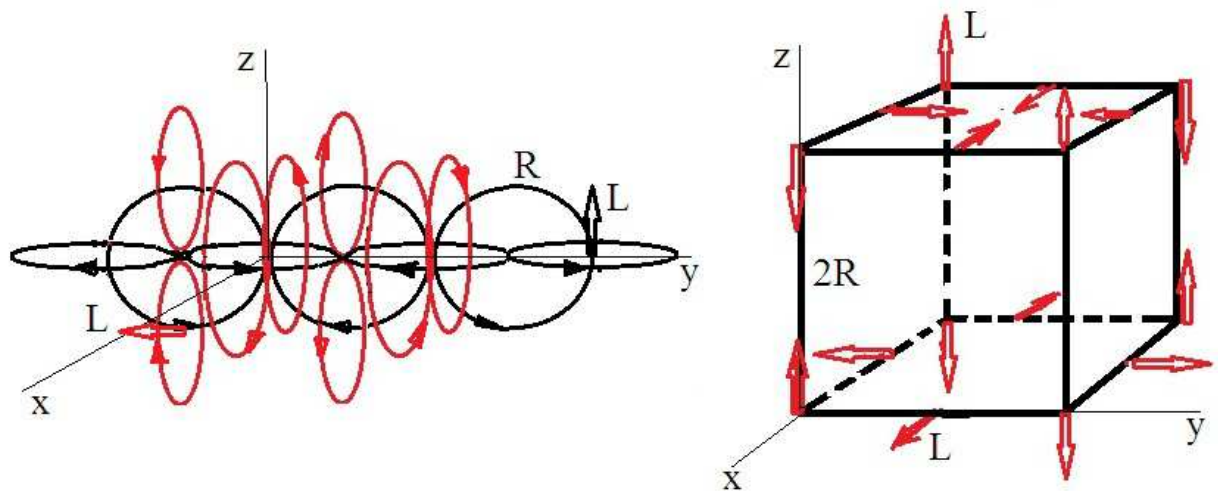


Рис 3. Модель трехмерной метрики физического вакуума, построенная из кольцевых вихрей эфира (Рис 2а), связанных по четверо и имеющих радиус R , момент импульса L – (а); порядок ориентации векторов L – (б).

Из ЭФ моделирующих чистую вращательную энергию (Рис 2а) формируется трехмерная метрика идеального физического вакуума (темная материя) (Рис 3), которая полностью лишена свободной поступательной энергии и в ней отсутствуют кванты ЭМ и нейтринной энергии. В таком состоянии эфир имеет плотность порядка $10^{-29} - 10^{-30}$ г/см³. В принципе, метрика среды жидкого гелия с вихревыми линиями в ней иллюстрирует метрику физического вакуума, поляризованную по одной из координат за счет ее анизотропного возбуждения ЭМ-энергией.

Размер элементарной ячейки невозмущенного эфира $2R$ (Рис 3б) имеет порядок 10^{-7} см [2]. Ячеистость эфира проявляется в характерном размере вихрей в жидком гелии и куперовских пар электронов имеющем тот же порядок величины, что и R [11]. Плоскостную проекцию метрики вакуума поляризованной однородным ЭМ-полем иллюстрирует схема молекулярных вихрей Максвелла (Рис 4а), а трехмерный элемент ЭМ-ячейки вакуума иллюстрирует конфигурация ЭМ-поля, генерируемого тремя кольцевыми токами (Рис 4б).

Метрика эфира реального физического вакуума Вселенной имеет глобальную и локальную гравитационную анизотропию. Первая есть следствие гравитационного самозамыкания конечного количества вещества Вселенной в определенных ее границах [2], а вторая отражает гравитационное взаимодействие космических объектов между собой. Гравитационный потенциал вещества есть производное суммарных потоков эфира, генерируемых светом атмосфер нуклонов, как отдельных, так и в составе ядер [2]. Результирующее их действие на эфир приводит к тому, что макрообразования из нуклонов и ядер исполняют для окружающего эфира роль стоков, втягивающая сила которых, играя роль гравитационного потенциала, оказывается пропорциональной числу нуклонов или массе вещества.

Удерживание ядер атомов электромагнитными силами в пределах структуры вещества (конденсированное состояние) ограничивает величину его плотности в пределах $\sim 1 - 10$ г/см³. Соответственно и гравитационный потенциал макротел с такой организацией ядер существенным образом проявляется лишь при взаимодействии тел, одно из которых имеет массу планетарного масштаба. В случае же высоких температур и давлений внутри звезд может идти конденсация уже элементов структур ядер с образованием нуклоноподобной макроструктуры и возрастанием ее плотности до плотности ядерного вещества $\sim 10^{14} - 10^{15}$

г/см³. Пропорционально увеличению плотности растет гравитационный потенциал такого образования и оно, в зависимости от исходной структуры, может коллапсировать или скрутиться с сохранением момента импульса, как в нейтронную звезду, так и в черную дыру.

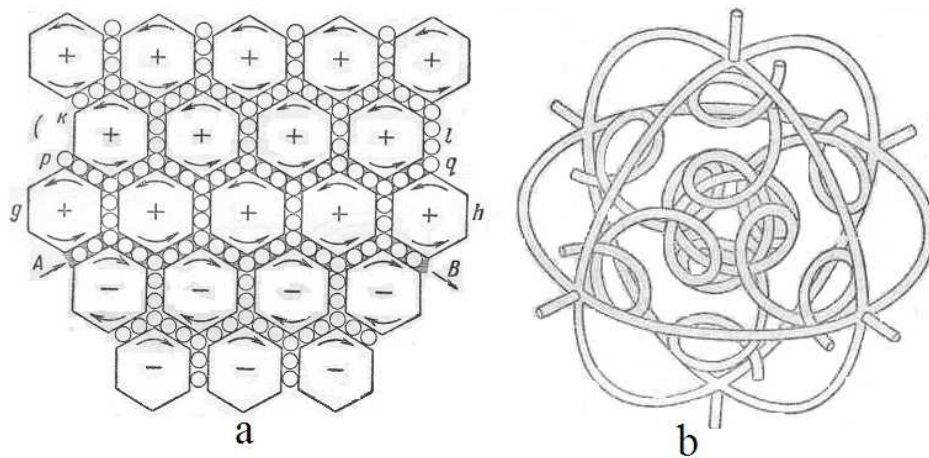


Рис 4. Плоскостная модель физического вакуума поляризованного электромагнитным полем, построенная из молекулярных вихрей (шестиугольники) и токовых слоев (кружочки) – а); трехмерная модель метрики электромагнитного поля, порождаемого кольцевыми токами в трех ортогональных плоскостях – б) [14].

На гравитационную анизотропию метрики физического вакуума фоном накладываются глобальные и локальные электромагнитная и нейтринная анизотропии. Обе глобальные анизотропии обусловлены выбросом равных количеств тепловой и нейтринной энергии в момент образования Вселенной [3]. Кроме того, эти два энергетических фона пропорционально увеличивались в процессе эволюции Вселенной и к настоящему времени космический эфир равномерно насыщен тепловыми фотонами «реликтового излучения» и квантами нейтринной энергии [16].

На сегодняшний день собранная космическим телескопом WMAP информация дает самую детальную карту малых флуктуаций температуры космоса 2,73К в виде распределения интенсивности микроволнового излучения на небесной сфере. На этой карте отчетливо видны плоскостная (экваториальная) (Рис 5) и трехмерная анизотропия реликтового излучения (Рис 6). Компьютерное моделирование показало, что подобное распределение флуктуаций реликтового излучения возможно только в том случае, если размеры Вселенной невелики.

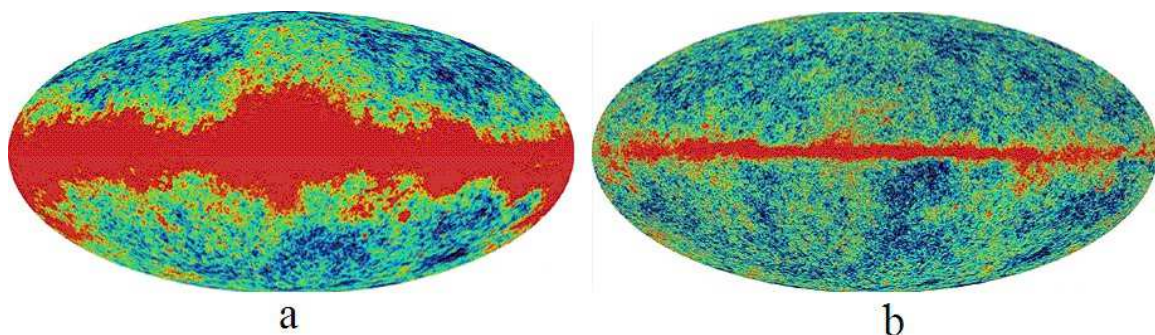


Рис 5. Карты фонового микроволнового излучения, полученные зондом НАСА WMAP в К (23 ГГц) – а) и W (94 ГГц) – б) диапазонах (без учета галактического фона) [17].

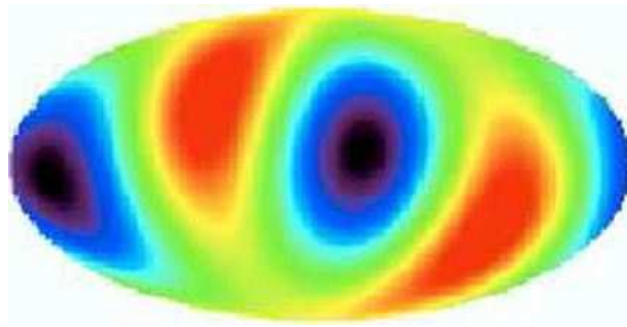


Рис 6. Крупномасштабная симметрия структуры неоднородностей поля реликтового излучения по данным зонда WMAP («Ось Зла») [18]

Эти результаты хорошо согласуются с теоретической моделью образования одухотворенной, самозамкнутой Вселенной из монослоя нейтронов [2,3], а также свидетельствуют о подобии всей Вселенной типичным вещественным образованиям – протону [2,15], планетам (Рис 7), Солнцу [19] и Галактике. Их структура состоит из осесимметричных оболочки и орбиталей [2,15]. Отметим, что обозначение характерных особенностей в макроструктуре Вселенной термином «Ось Зла» свидетельствует о доминировании ветхозаветности в мировоззрении современных космологов.

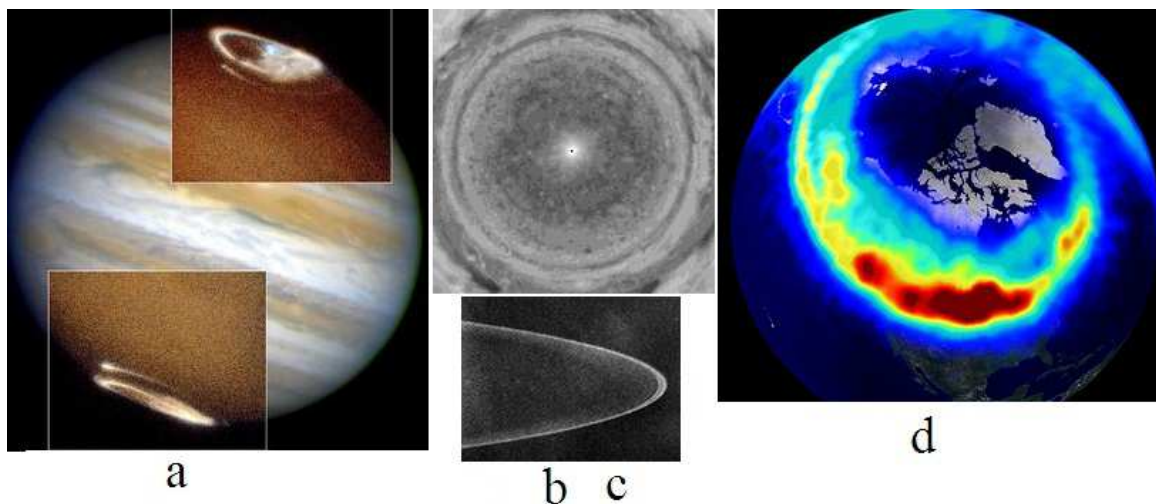


Рис 7. Фотографии Юпитера (а, b, c) и Земли (d), на которых визуализированы структурные элементы частиц и космических объектов (планет, звезд, галактик) – полые оболочки (а, d), орбиталь (с) и замкнутые потоки эфира оболочек – светящиеся точка (b) и кольца вокруг полюсов (а, b, d).

Энергия связи и упругость элементов метрики вакуума и последующих агломератов из ЭФ, очевидно, определяется величиной поступательной энергии вихрей (Светы [2,15]), которая обратно пропорциональна радиусу эфирной атмосферы ЭФ – r (Рис 2b). С учетом этого, соотношение (1), задающее правило перехода между различными уровнями организации вещества, можно соотнести со словами Ньютона от 1704 года: «Мельчайшие частицы материи могут сцепляться посредством сильнейших притяжений, составляя большие частицы, но более слабые; многие из них могут также сцепляться и составлять еще большие частицы с еще более слабой силой — и так в ряде последовательностей, пока прогрессия не закончится самыми большими частицами, от которых зависят химические действия и цвета природных тел; при сцеплении таких частиц составляются тела заметной величины... Таким образом, в природе существуют агенты, способные сжимать вместе частицы тел весьма сильными притяжениями. Обязанность экспериментальной философии их разыскать» [20]. Искомым агентом связи, таким образом, вполне могут

служить вихри эфира, отвечающие за импульс ЭФ. Они условно названы Светами. «Мельчайшие частицы» Ньютона, также как и «слои частиц» Максвелла, представляющих ток на Рис 4а являются, по сути, непрерывными вихревыми потоками эфира (духа).

ЧАСТИЦЫ

В результатах исследований взаимодействия частиц с ЭМ-полем и между собой, полученных в последнее время, уже можно выявить роль ЭФ и, в частности, подчинение их динамики соотношению (1). В работе [10] был предложен механизм ускорения частиц в электромагнитных полях за счет конденсации на элементах частиц квантов ЭМ-поля (фотонов), импульс и эквивалентная масса которых добавлялись, соответственно, к импульсу и массе покоя частицы. При скоростях близких к скорости света структура, например, протона уплощалась, становясь изоморфной тороидальному гиперфотону (Рис 2b, 8a).

Ветхозаветные теоретики, игнорируя процесс конденсации ЭМ-квантов и механизм движения протона, для учета его структурных изменений изобрели химеру «партоны»: «пронизывающие друг друга облака кварков, антикварков и глюонов. Все вместе они называются «партоны» (от английского «part» — часть)» [21]. Под партонами следует понимать деформированные Светами фотонов динамичные элементы структуры протона – оболочку и две орбитали (Рис 8a). Можно сравнить оценки теоретиков размеров протона (Рис 8b) с величинами радиусов внешней орбитали и оболочки покоящегося протона, равными 0,93 и 0,58 фм [2,15]. Оболочка, определяющая поперечный размер протона, растягивается и сплющивается при его движении почти втрое, а размер внешней орбитали практически не меняется.

Почти вся энергия летящего протона имеет ЭМ-природу, представляя собой тороидальный гиперфотон с минимальным радиусом светов (r) порядка 0,3 фм. Исходя из величины этой энергии ($\sim 7 \times 10^{12}$ эВ или ~ 4 эрг), с помощью (1) можно оценить число (k) квантов ЭМ-энергии (с эквивалентной длиной волны $\sim 2\pi\lambda$ [15]), обеспечивающих его движение:

$$k = 4 \times 0,3 \times 10^{-13} / 3 \times 10^{-17} = 10^3 .$$

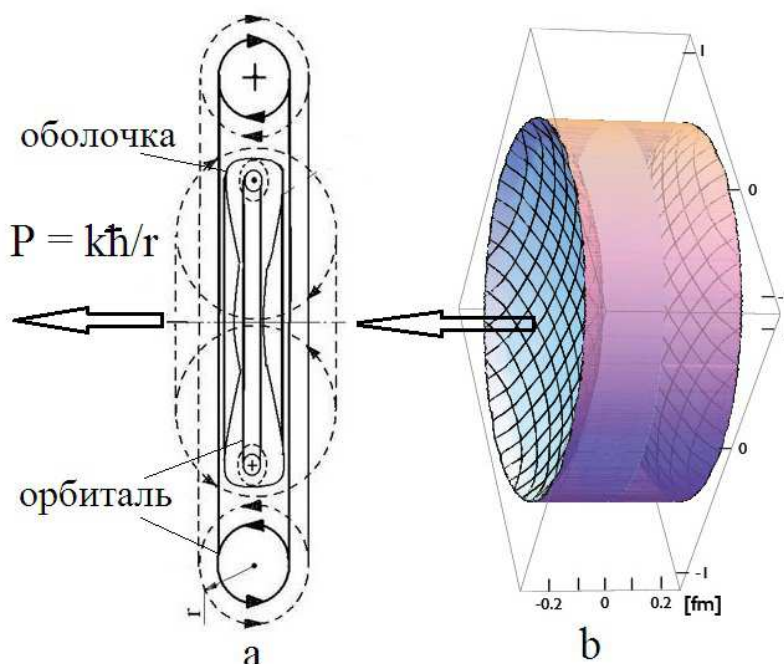


Рис 8. Структура ультрарелятивистского протона, деформированная квантами ЭМ-энергии, сообщающими протону импульс P – а) [10]. Идиоматическая модель летящего протона [21].

В свою очередь данные фотоны являются конденсатом квантов ЭМ-поля ускорителя. Если в качестве длины волны этих квантов принять величину порядка радиуса ускорителя (4 км), то на образование одного связанного с протоном фотона понадобится порядка 10^{19} квантов ЭМ-поля ускорителя. Общее же их число, необходимое для сообщению протону кинетической энергии порядка 7 ТэВ будет порядка 10^{22} , что близко к значению числа Авогадро (N).

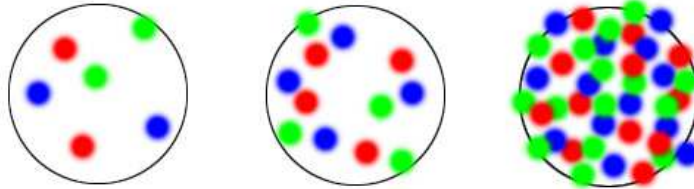


Рис 9. Идиоматические схемы распределения партонных плотностей в быстро летящем протоне. Чем выше энергия протона (слева направо), тем большее количество партонов находится внутри протона. При достижении некоего порогового значения энергии рост партонных плотностей резко замедляется и партоны выходят на режим насыщения [21].

Отметим, что одним из положений теофизики является правило квантования порядка [2], по которому переход с одного уровня организации материи на следующий происходит при условии конденсации N элементов предшествующего уровня порядка с образованием одного элемента следующего уровня порядка. В нашем случае конденсация N элементарных частиц (фотонов) на протоне порождает гиперфотон, энергетические характеристики которого уже соответствуют порядку макрообъектов.

Таким образом, собственная атмосфера светов протона существенно уплотняется светом фотонов при ускорении его в ЭМ-поле до скорости близкой к световой. На языке теорфизиков это означает, что число партонов достигает предельной плотности (Рис 9).

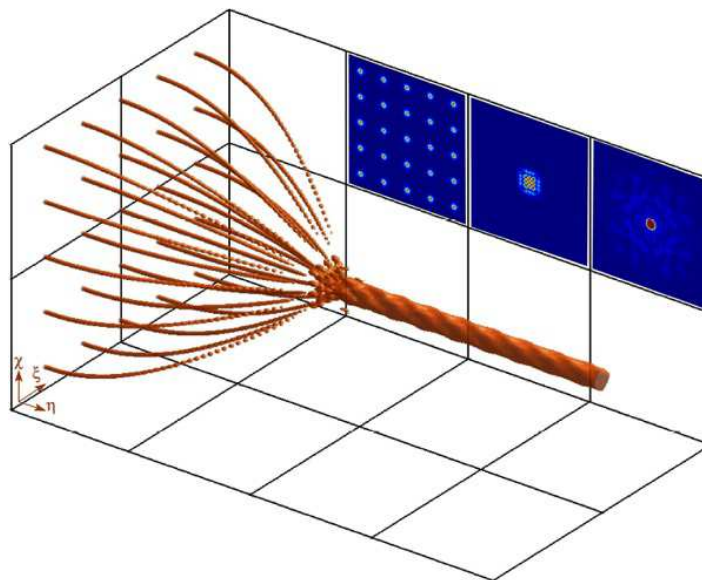


Рис. 10. Схема перестройки (фазового перехода) внутренней структуры лазерного луча при увеличении его интенсивности – от упорядоченных цепочек фермионных пузырьков, к фазе жидкой капли, в которой цепочки сливаются в одну толстую нить-филамент. На вставках сбоку показано распределение интенсивности в профиле лазерного луча [22]

Конденсация фотонов по формуле (1), очевидно, лежит в основе фазового перехода в лазерном луче, который проявляется как спонтанная перестройка пространственной структуры луча при достижении определенного значения его интенсивности (Рис 10). Луч сначала моделируют упорядоченной решеткой цепочек фермионных пузырьков или локализованных в пространстве шарообразных областей с максимумом интенсивности в их центрах и с плавным уменьшением до нуля на их краях [22]. Постоянная решетки или радиус пузырьков, а значит, и их взаимодействие друг с другом, зависят от интенсивности луча или плотности энергии в пузырьках. При достижении энергии взаимодействия между пузырьками значения, обеспечивающего перекрытие Светов фотонов, происходит их слияние-конденсация по (1) в одну толстую нить-филамент.

Подобно конденсации фотонов на структуре протона в ускорителе идет конденсация зарядово-массовых ЭФ в элементы нуклонов и ядер [2,15]. В звездах и в центрах галактик при определенных условиях может идти также конденсация элементов структур ядер и нуклонов в макровихри, потоки эфира в которых имеют плотность ядерного вещества. Как отмечалось выше, таким путем образуются компактные нейтронные звезды с радиусом порядка 10^6 см, они представляют собой быстровращающиеся оболочки, подобные оболочкам нуклонов (Рис 7). Гигантским значениям их момента импульса отвечают мощные магнитные поля. Теорфизики, в некоторых случаях моделируют нейтронную звезду как макронуклон, состоящий из «странной кварковой» материи. С учетом того, что кварки на самом деле представляют собой элементы нуклонов, «кварковое» состояние теорфизиков следует понимать как конденсат зарядово-массовых пар элементов структуры нейтрона.

Подчеркнем, что все первичные космические объекты, образовавшиеся из монослоя нейтронов [2,3], имеют в своей основе оболочки, внутренность которых заполнена конденсатом из нейтриноподобных ЭФ (Рис 11). Вторичные космические объекты, возникающие в процессе коллапсов и взрывов звезд, а также при их столкновениях будут сохранять нуклоноподобную структуру, также как ее сохраняют ядра-осколки после радиоактивных распадов перенасыщенных нейтронами ядер.

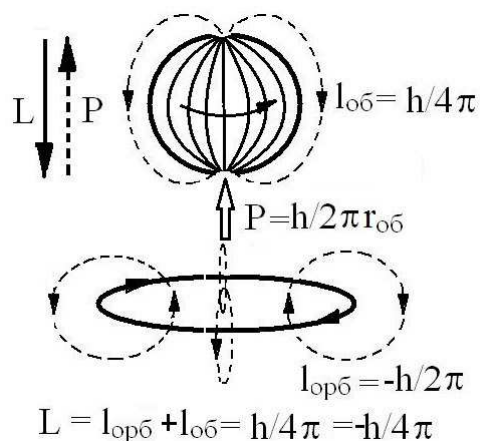


Рис 11. Модель антинейтрино и нейтринных ЭФ, состоящих из оболочки и орбитали, их самодвижение осуществляется по механизму «игры вихрей». P и L – собственные импульс и момент импульса антинейтрино [23].

Примером такого осколка или минизвезды, состоящей из конденсата нейтронов, был Тунгусский метеорит [24]. В процессе гравитационного коллапса звездного вещества возможно образование микрополостей с конденсатом из ЭФ. Подобно возникновению вспышки света (сонолюминисценция) при схлопывании кавитационных пузырьков, рождённых в жидкости мощной ультразвуковой волной, так и при схлопывании микрополостей в нейтронном конденсате будут образовываться гиперфотоны из ЭФ с радиусами Светов порядка 10^{-13} см, подобные гиперфотону БАК (Рис 8). Гиперфотоны

могут захватывать в свою структуру зарядово-массовые пары и инжектироваться из коллапсирующей или взрывающейся звезды.

Можно предположить, что именно гиперфотоны являются космическими лучами, которые предположительно возникают при взрывах сверхновых звезд и имеют энергию от $\sim 10^{12}$ до 10^{20} эВ [1]. Космические гиперфотоны порождают в атмосфере Земли широкие ливни из вторичных частиц, подобные «кофейной гуще» возникающей при столкновении релятивистских частиц (Рис 1). Из-за отсутствия прямых наблюдений космических лучей до сих пор нет достоверных данных о их природе и механизме ускорения до указанных энергий. По аналогии с гиперфотоном полученном в БАК и привлекая соотношение (1) можно оценить, что для образования гиперфотона с энергий 10^{20} эВ ($\sim 10^8$ эрг) должно сконденсировать 10^{12} фотоноподобных ЭФ с радиусом порядка 10^{-13} см.

НЕЙТРИНО И АТОМЫ

Базовая метрика эфира пространства, как было отмечено выше, насыщена нейтринной энергией, фон которой имеет постоянную (реликтовую) и переменную (локальную) составляющую. Нейтринные ЭФ в структурах нуклонов и ядер обеспечивают связанность их элементов в единое целое. Сборка данных элементов в устойчивые структуры осуществляется при строгом соблюдении правил отбора по признаку хиральности [2,23]. Соответственно и кванты нейтринной энергии также хиральны. Распад радиоактивных ядер и нейтрона как раз и обусловлен разрыхляющим действием на их структуры квантов нейтринной энергии с хиральностью несовместимой с хиральностью элементов нейтрона и ядер.

Мистические глюоны теорфизиков, играющие роль клея для кварков [5], на самом деле есть связывающие или разрыхляющие ЭФ в зависимости от того – стабильна или нет структура частицы. На последнем этапе процесса распада нейтрона и нестабильных ядер законы сохранения обуславливают слияние избыточных для структур частиц (материнской и дочерних) ЭФ в нестабильную частицу (антинейтрино, нейтрино или их возбужденные состояния). Время жизни этих частиц зависит от типа радиационного распада и внешних условий [23]. Их метаморфозы и распад в космическом и приземном эфире, имеющем различные поляризации (ядерные, гравитационные, электромагнитные), представляется теорфизиками как осцилляции нейтрино.

Вероятная структура антинейтрино показана на Рис 11. При такой комбинации ЭФ и образованных из них элементов нейтрино, оно будет иметь эквивалентную массу, спин и собственный импульс при отсутствии электрического заряда и магнитного момента. Его орбиталь будет эффективно взаимодействовать с ЭФ силовых линий магнитного поля, что и будет ускорять распад нейтрино. В принципе, распад нейтрино может дать N изоморфных ему ЭФ. В работах [23-25] обоснована биогенность нейтринной энергии и рассмотрены механизмы ее участия в морфогенезе живых систем. Ключевым моментом этих механизмов является способность динамичных водных и упорядоченных молекулярных систем к кооперации, обеспечивающей условия для конденсации на элементах систем нейтринных ЭФ с последующим их слиянием по формуле (1).

При распаде нейтрона преобразование его орбитали в две орбитали протона сопровождается выбросом избыточных ЭФ в виде антинейтрино, а избыточных зарядово-массовых пар ЭФ в виде структуры электрона [15,23]. В процессе рекомбинации свободных протона (радиус внешней орбитали $\sim 10^{-13}$ см) и электрона (радиус оболочки $\sim 10^{-10}$ см [15]) под действием кулоновских сил образуется устойчивая структура атома водорода, в которой протон оказывается внутри оболочки электрона. При этом исходная структура электрона раскручивается и радиус внешней орбитали становится равным радиусу атома водорода ($\sim 5 \cdot 10^{-10}$ см). Энергия связи структур протона и электрона, равная потенциалу ионизации атома водорода (~ 11 эВ), излучается в виде фотона рекомбинационной люминесценции.

По аналогичному принципу формируются и остальные атомы. Причем слоистая структура ядер [15] изоморфно воспроизводится в комбинациях оболочек электронов и их орбиталей. Из комбинаций внешних орбиталей электронов атомов формируются эмпирические электронные орбитали атомов, которые отвечают за их химические свойства. При обобщении данных орбиталей двух и более атомов образуется молекула и молекулярные орбитали, отвечающие эмпирическим электронным молекулярным орбиталам. Поглощение атомами и молекулами квантов ЭМ-энергии происходит за счет внешних орбиталей, которые, усваивая ЭФ фотона, скручиваются, меняя свой радиус, угловую частоту и эквивалентную массу.

Кванты нейтринной энергии в живых системах, содержащих воду и упорядоченные молекулярные системы, в принципе, играют ту же роль, что и в частицах, то есть служат хиральной составляющей электромагнитного «клея», связывающего атомно-молекулярные системы в единое целое. Механизмы взаимодействия биогенного нейтрино с живыми системами в конденсированных средах подробно рассмотрены в работах [23-26]. В рамки этих механизмов вполне укладываются и глобальные изменения в биосфере и ноосфере рассмотренные ниже.

БИОЛОГИЯ И ЭТОЛОГИЯ

Возникновение и эволюция живых систем на Земле есть результат сбалансированного воздействия на биосферу электромагнитного и нейтринного излучения Солнца. Скачки в духовной эволюции, можно связать с мутациями генома человека, которые инициировали как возмущения Солнечной активности (СА), так и воздействия на биосферу биогенных ЭМ или нейтринных излучений галактической природы [27]. Эпохальная перестройка энергетики Солнца, ознаменовавшая конец эпохи мифохристианства, была инициирована падением на Юпитер кометы Шумейхеров-Леви в 1994 году. Перестройку межпланетной метрики эфира при этом манифестировала комета Хэйла-Боппа в 1995-1997, прописав своей траекторией на небосклоне букву W: **алфа и омега, начаток и конец (Отк 1, 8)**. Нарушился 11-летний ритм СА – XX цикл имел два максимума в районе 2000-2001 гг. и затянулся минимум XXI цикла, максимум которого ожидаем в 2012 году.

Эти изменения, очевидно, сказались и на балансе ЭМ и нейтринной составляющей солнечно-земных связей [28]. Действие нейтринного фактора на биосферу [29], либо существенно уменьшилось, либо сменился знак его хиральности. На эти изменения соответствующим образом отреагировала динамика всех уровней организации живых систем от биологического до социально-духовного. Перечислим наиболее характерные глобальные изменения в биосфере и ноосфере.

Христианство. Духовный потенциал мифологического христианства к концу второго тысячелетия нашей эры практически занулился во всем мире и одновременно активизировался ислам: **отимется жертва и возлияние, и во святилищи мерзость запустения будет (Дан 9, 27)**.

Иафетяне. С 1991 года был форсирован процесс духовной деградации России (распад системы образования, реанимация мифохристианства (РПЦ), стагнация творческой деятельности). Предыдущий этап духовного вырождения русских длился весь XX век. Начало этого этапа было инициировано семитами, чья революционная активность в свою очередь была откликом на возмущения СА в 1905 и 1917 годов [7,8].

Спад духовно-интеллектуального потенциала белого человека в XX веке [40] коррелирует со снижением в конце XX века возраста полового созревания [41], что свидетельствует о глобальном процессе дегуманизации (озверении) человека. Особенно ярко эта тенденция проявляется в кинопродукции Голливуда, в которой преобладают фильмы о человеко-зверях, вампирах, ужасах и всевозможных извращениях.

Семиты. В преддверии максимума СА 2012 года активизировалась социально-политическая активность арабов в странах Ближнего Востока и Северной Африки. Очевидно, что и в этом случае провоцирующая составляющая активности аборигенов

исходила от США и Запада. Модуляция политической активности семитов-иудеев СА обусловлена некой электромагнитной спецификой их физиологии. Она же, в принципе, ответственна и за электромагнитную доминанту в теорфизике. Фенотип ветхозаветного иудея сформировался в уникальных геофизических условиях разлома материковых плит, обозначенного рекой Иордан [29,30]. Основу этой уникальности составляет доминирование в местах обитания древних иудеев левоспиральных энергоформ электромагнитной и нейтринной природы: **в землю кипящую млеком и медом (Исх 3, 17)**. Очевидно, под их действием ЭМ-портрет генома иудея и приобрел ту специфичность [31,32], которая проявилась при зачатии девой Марией мальчика по механизму партеногенеза и обусловила доминирование ЭМ-фактора в физиологии духа [25]: **не отял Еси от них сердца лукаваго (3 Езд 3, 20); вы отца вашего диавола есте (Ин 8, 44)**.

Хамиты. Среди аборигенов стран Южной Африки (ниже широты 15°) процент больных ВИЧ-инфекцией, а также рахитом существенно выше, чем среди остального населения Земли: **Из хранилищ внутренних находят болезни (Иов 37, 9)**.

Климат. Резко изменился климат в масштабе всей Земли. Участились катастрофические явления, связанные с СА (землетрясения, наводнения, температурные и атмосферные возмущения). Главной причиной этих изменений есть нарушение в биосфере баланса между ЭМ и нейтринной энергиями, дефицит последней привел к снижению уровня утилизации биосферой тепловой ЭМ-энергии, избыток которой стал глобальным энтропийным фактором [23].

Пчёлы. Популяция пчёл в Европе, Америке и в Азии стремительно сокращается, начиная с зимы 2006 года. Синдром разрушения колоний неизвестной природы уничтожает миллионы пчелиных семей [33]. Мед и пчелы являются библейскими символами нейтринных ЭФ, а лев – символом солнечного нейтрино [2,23]: **рой пчел во устех львовых и мед (Суд 14, 8)**. Эта символика обусловлена тем, что пыльца и нектар растений, как и сам мёд эффективно аккумулируют нейтринную энергию, в том числе исходящую из литосферы: **ссаша мед из камене и елей от тверда камене (Вт 20, 8)**. Уменьшение плотности нейтринной энергии или частичная смена знака ее хиральности, слабо влияя на репродуктивность и свойства растений, могли существенно снизить иммунитет пчел.

Растительность. По всему северному полушарию наблюдается глобальное явление усыхания зрелых дубов [34] и других крупных деревьев (Рис 12): **кости сухия (Иез 37, 4)**. Поток нейтрино, исходящий из земли способствует образованию корневого давления воды в деревьях, обеспечивающего ее подъем по стволу и значение тургора в древесных клетках [35]. Поэтому снижение плотности потока нейтрино стало причиной усыхания больших деревьев в северном полушарии.

Гидросфера. Необъяснимые глобальные изменения наблюдаются в Северном море на уровне его фито- и зоопланктона []. Нейтринный фон воды морей и океанов существенно выше, чем его фон на суше [36]. В силу этого растения и рыбы эффективно аккумулируют нейтринную энергию напрямую. У рыб важную роль при этом играет внешний каркас из чешуи. Чешуя рыб на 50 % состоит из органического вещества, представленного в основном соединительной тканью. Минеральную часть образует главным образом фосфат кальция (около 40 %). У некоторых рыб чешуя вообще состоит из костного вещества. Таким образом, благодаря своему составу чешуя рыб может аккумулировать нейтрино [23], также как и трубчатые кости с костным мозгом у млекопитающих наземных животных (см. ниже). Именно поэтому у рыб отсутствует костный мозг и низкое содержание крови [37].



Рис 12. Усыхающие вязы в окрестностях Долгопрудного. Стрелками показаны ветви лишенные коры. На втором плане вяз, засохший за три года.

Этология человека. Формирование исходного генома гоминида осуществилось в геофизических условиях центральной Африки. Последующая его «цветная» дифференциация (на черных, желтых и белых) была связана с расселением первобытных людей по трем геофизическим зонам – юг Африки, экваториальная зона и северное полушарие. Главным фенотипическим фактором при этом была анизотропия обтекания Земли потоками галактического и солнечного нейтрино [23,28]: **Свет Его на крылу земли (Иов 37, 3); окружи небо окружением славы (Сир 43, 13).**

Центральным органом, аккумулирующим нейтринную энергию и управляющим чувствительностью к ней всего организма человека и большинства зверей является эпифиз – железа, расположенная у человека в фокусе черепной коробки. Эта железа у травоядных зверей больше, чем у хищных. Обнаружено, что у вундеркинда размер эпифиза был гипертрофирован [38]. Ввиду отсутствия сравнительных данных для людей, по аналогии со зверями можно только предположить, что у злых и глупых людей эпифиз меньше, чем у доброго, духовного человека.

Эпифиз ответственен за циркадную и гонадотропную функции организма, в нем синтезируется гормон мелатонин, посредством которого в организме регулируется синтез меланина, отвечающего, в частности, за цвет кожи и нормализуются иммунологические показатели. Исходя из этих данных, можно полагать, что именно морфогенез эпифиза лежит в основе фенотипической дифференциации генома и развитии умственных способностей человека. Снижение плотности потока солнечного нейтрино с середины XX века могло обусловить процесс духовной деградации и дегуманизации белого человека, а также ускорение его полового созревания, причины которого до сих пор не установлены [41].

Анизотропия падающих на Землю потоков космического нейтрино обусловлена, прежде всего, тем, что поток галактического нейтрино падает со стороны северного полюса: **Не всем же видим Свет: светлый есть в древностях, якоже еже от него на облацех. От севера облацы златозарни (Иов 37, 21, 22).** Поток же солнечного нейтрино, будучи направлен на экваториальную часть, расщепляется магнитным полем Земли по хиральному признаку – правоспиральные ЭФ направляются к северному полюсу, а левоспиральные к южному: **волею его возвеет юг (Сир 43, 17).**

Адаптация физиологии эпифиза хамитов к интенсивности и хиральности нейтринного фактора на юге Африки, соответствующим образом отразилась и на их фенотипических особенностях, которые проявляются у негров в черной коже и в ослабленном иммунитете к ВИЧ-инфекции. Рахит у негров, как недоразвитие костной системы, также может быть обусловлен снижением роли нейтринной составляющей в энергетике их организма.

Считается, что главным физическим фактором развития костной системы у млекопитающих явилась сила тяжести [37]. Однако помимо чисто механической функции костная ткань играет важную роль в энергетике кроветворения, способствуя насыщению костного мозга нейтринной энергией. Именно нейтринный филогенетический фактор мог обусловить локализацию органа кроветворения у млекопитающих в костной системе: **глаголет Адонай Господь костем сим: се, Аз введу в вас дух животен (Иез 37, 5)**. В пользу данной гипотезы, прежде всего, говорит гистология и химический состав костной ткани. Макро и микроструктура костной ткани (Рис 13) имеет осесимметричную геометрию и сочетает хиральные нити коллагеновых волокон с кристаллами гидроксилапатита, которые располагаются в определенных центрах на поверхности коллагеновых фибрилл.

В силу своей морфологии трубчатые кости, в принципе, должны эффективно конденсировать и аккумулировать кванты нейтринной энергии по схеме (1) и по механизму, аналогичному процессу фазового перехода в лазерном луче (Рис 10). Кроме того, костная ткань свойственен пьезоэффект, что предполагает эффективное преобразование волн деформации (фононов) в фотоны и последующую их гибридизацию с нейтринными ЭФ [23,39]. Следовательно, костная ткань, также как и эпифиз может служить чувствительным органом, посредством которого нейтринная энергия влияет на филогенез млекопитающих.

Гипотеза об участии костной ткани в аккумуляции нейтринной энергии позволяет объяснить распространенность рахита у негров и другие явления в морфологии животных. Относительный вес скелета новорожденного у млекопитающих в два-три раза больше, чем у матери [37]. Данный факт с учетом головного прилежания плода указывает на ключевую роль нейтринной энергии, исходящей из земли во внутриутробном развитии ребенка: **не утаися кость моя от тебе, иже сотворил еси в тайне, и состав мой в преисподних земли (Пс 138, 15)**. Кроме того, поскольку в утробе матери плод пребывает практически в невесомости, то можно заключить, что в филогенезе костной системы нейтринный фактор более значимый, чем гравитационный.

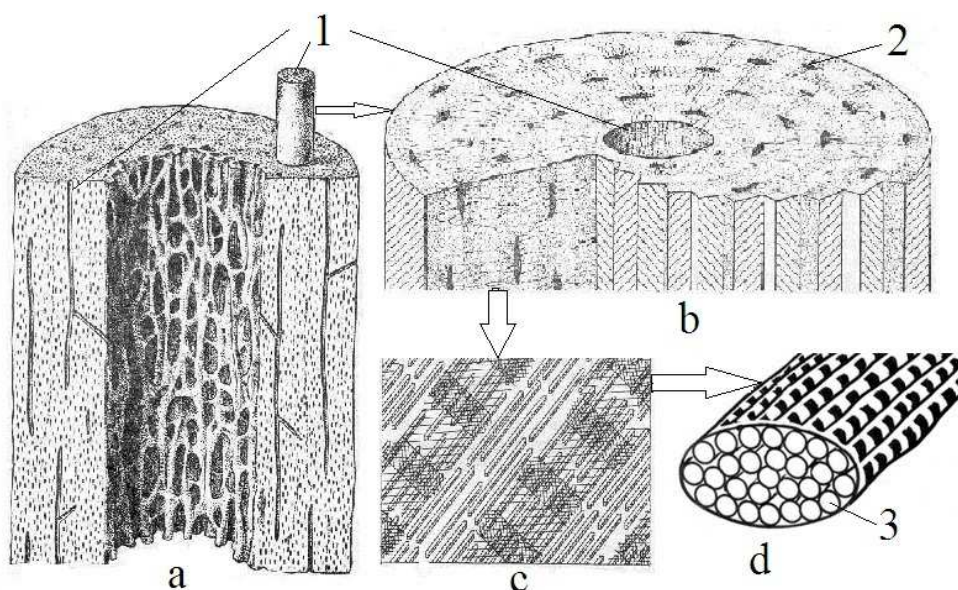


Рис 13. Схема деталей структуры кости при различных увеличениях: а) – разрез кости без костного мозга ($\times 20$); б) – разрез выдвинутого из кости остеона ($\times 10000$), он состоит из коллагеновых волокон (более темного цвета) и кристаллов гидроксиапатита (серый цвет); в) – взаимное расположение коллагена и гидроксиапатита ($\times 200000$); д) – коллагеновая фибрилла ($\times 2000000$). 1 – гаверсовы каналы, по ним проходят кровеносные сосуды; 2 – остециты; 3 – микрофибрилла, состоит из 5 спирализованных волокон тропоколлагена.

У горного крупнорогатого скота кости мощнее, чем у животных, разводимых и живущих на низменности [37]. Это особенно хорошо видно на примере рогов барана архара, имеющих к тому же спиральную форму. В горах понижено парциальное давление кислорода. В этих условиях для поддержания гомеостаза на должном уровне необходимо увеличение содержания гемоглобина в крови. Поэтому в процессе адаптации организма к этим условиям увеличивается костная масса, а значит, интенсифицируется поглощения нейтринной энергии и кроветворение: **кости их да процветут от места их (Сир 46, 14)**. Ускорению адаптации костной системы может способствовать также повышенная плотность потока нейтрино исходящего из земли в горах, по сравнению с потоком на равнинной местности, где его частично экранирует почва.

ЗАКЛЮЧЕНИЕ

Прочтя статью, разумный человек поймет, насколько неладно в нынешнем людском королевстве. Осознает и то, что под видом короля миром управляет злохитрый дьявол, у которого теорфизики работают мальчиками на побегушках. Разумный человек, осознав все это, примет единственное спасительное для его души решение – искоренить ветхозаветность во всех сферах его личного бытия – в науке, в политике, в искусстве и, конечно же, в быту.

ЛИТЕРАТУРА

1. Холманский А.С. Ноохристианство // <http://www.sciteclibrary.ru/rus/catalog/pages/10884.html>
2. Холманский А.С. Начала Теофизики, Палея, 1999; http://www.portalus.ru/modules/psychology/data/files/nachala_teophysiki.doc
Физика Духа // Вестник Русского Духа. 1. 2001; (http://www.portalus.ru/modules/psychology/data/files//vestnik_russkogo_duha_2001.zip)
3. Холманский А.С. Энергоформа // <http://www.sciteclibrary.ru/rus/catalog/pages/7441.html>
Модель одухотворенного мироздания // www.sciteclibrary.ru/rus/catalog/pages/8084.html
4. Холманский А. С. Расслоение ноосферы // <http://www.chitalnya.ru/work/148841/>; Хиральная пустота // http://www.neizvestniy-geniy.ru/personal_works/
5. Любимов А., Киш Д. Введение в экспериментальную физику частиц. -М.: -2001
6. Низовцев В.В. Время и место физики XX века. "Едиториал УРСС", -2000, 208 с.
7. Комаров Ф.И., и др. Гелиогеофизические факторы и их воздействие на циклические процессы в биосфере. Итоги науки и техники, Медицинская география. 1989. -Т.18, 175с.
8. Чижевский А.Л. Физические факторы исторического процесса. –Калуга. -1924. -72 с.
9. Холманский А. С. Дьявольские сети // <http://www.sciteclibrary.ru/rus/catalog/pages/10933.html>
10. Холманский А. С. Электромагнитная природа релятивистских эффектов // <http://www.smolensk.ru/user/sgma/MMORPH/N-19-html/kholmanskiy-2/kholmanskiy-21.htm>
11. Сивухин Д.В. Атомная и ядерная физика. – М.: -2002. -784 с.
12. Лобачев В. В., Яржемский В. Г., Холманский А.С. Проблемы высокотемпературной сверхпроводимости // <http://www.smolensk.ru/user/sgma/MMORPH/N-16-html/kholmanskiy/kholmanskiy.htm>

13. Prunnila M. Meltaus J. Acoustic Phonon Tunneling and Heat Transport due to Evanescent Electric Fields // Phys. Rev. Lett. 105, 125501 (2010)
14. Максвелл Дж. Избранные сочинения по теории электромагнитного поля. М. 1954
15. Холманский А.С. Начала православной науки // http://library.by/portalus/modules/psychology/readme.php?subaction=showfull&id=1132581314&archive=01&start_from=&ucat=1&;
16. Холманский А. С. Игра в константы // <http://www.neizvestniy-geny.ru/cat/literature/kritik/310071.html>
17. ASTRO новости, news 176; http://yastro.narod.ru/a/a_news177.htm
18. "Ось Зла" пронзает этот мир // <http://pda.cnews.ru/news/index.shtml?top/2005/10/24/190446>
19. Холманский А.С. Теофизика солнца // <http://www.quantmagic.narod.ru/volumes/VOL422007/p2209.html>
20. Ньютон И. Оптика. М.: ГИТТЛ, 1954. С.299
21. Иванов И. Какую форму имеет быстро летящий протон? // <http://elementy.ru/news/430940>
22. Nova D., Michinel H., Tommasini D. Fermionic Light in Common Optical Media // Phys. Rev. Lett. 105, 203904 (2010)
23. Холманский А. С. Теофизика нейтрино // Квантовая магия. -2007. –Т.4. –В.2. <http://quantmagic.narod.ru/volumes/VOL422007/p2148.html>
24. Холманский А.С. Нейтринный след тунгусского метеорита <http://quantmagic.narod.ru/volumes/VOL312006/p1108.html>
25. Холманский А.С. Хиральность и квантовые эффекты как факторы морфогенеза // <http://www.smolensk.ru/user/sgma/MMORPH/N-28-html/kholmanskiy-2/kholmanskiy-2.htm>
26. Холманский А.С. Моделирование физики мозга // <http://sgma.alpha-design.ru/MMORPH/N-12-html/holmansky-3/holmansky-3.htm>
27. Холманский А.С. Зависимость ресурса функциональной асимметрии мозга от внешних условий // http://www.j-asymmetry.com/Kholmansky_1_09.htm; Галактический фактор духовной эволюции // http://www.j-asymmetry.com/Kholmansky_1_09_2.htm
28. Холманский А.С. Нейтринная составляющая солнечно земных связей // <http://www.sciteclibrary.ru/rus/catalog/pages/9625.html>
29. Холманский А.С. Нейтрино и биосфера // <http://www.neizvestniy-geny.ru/cat/literature/stati/297616.html>
30. Холманский А.С. Тьма египетская // <http://quantmagic.narod.ru/volumes/VOL432007/p3206.html>
31. Michael F. Hammer M.F., et al. Extended Y chromosome haplotypes resolve multiple and unique lineages of the Jewish priesthood // Hum Genet; http://napobo3.lk.net/dna/Hammer_2009_Y-DNA%20Jewish%20Priesthood_HG.pdf
32. Холманский А.С. Дихотомия правого и левого в живых системах // http://www.j-asymmetry.com/Asymmetry_03_2008.pdf
33. Пчелы // <http://ru.wikipedia.org/wiki/Пчела>
34. Причины деградации дубрав в мире, сайт www.treeland.ru
35. Адаптация растений к аномальным физическим факторам // <http://www.smolensk.ru/user/sgma/MMORPH/N-23-html/holmanskiy/holmanskiy.htm>; Мифология и физиология алкоголя // <http://www.smolensk.ru/user/sgma/MMORPH/N-21-html/holmansky-1/holmansky-1.htm>;
36. В Северном море происходят непонятные изменения // <http://www.inauka.ru/news/article48892.html>
37. Коржуев П.А. Эволюция, гравитация, невесомость. – Наука. М.: 1971. -151 с.
38. Хелимский А. М. *Энифиз*, М, 1969; Progress in brain reseach, v. 10 Structure and function of the Eriphyses cerebri, L, N. Y., 1965
39. Холманский А.С., Минахин А.А., Дегтярев В. П. Модели и аналогии в физиологии зубов // <http://www.smolensk.ru/user/sgma/MMORPH/N-27-html/kholmanskiy/kholmanskiy.htm>

40. Холманский А.С., Холманская Л.И. Духовность как творческий потенциал // <http://www.sciteclibrary.ru/rus/catalog/pages/10278.html>
41. Экстремальная акселерация // Иллюстрированная наука. -№6. -2011. С.55-59